

Kernspin(resonanz)tomographie — Feldgradienten-Kernspinresonanz MRT

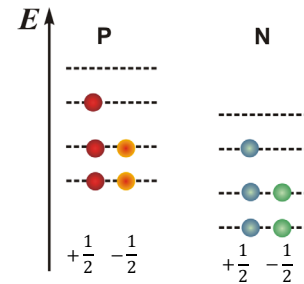
Wiederholung

- a.) Radiospektroskopische Methoden Kap. X/4.1);
- b.) Tomographiemethoden Kap. VIII/4.1)

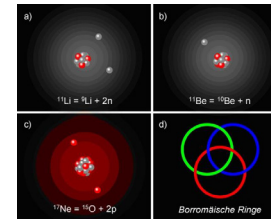
Biophysik für Mediziner; Eds.: Damjanovich, Fidy, Szöllösi



Energiestruktur

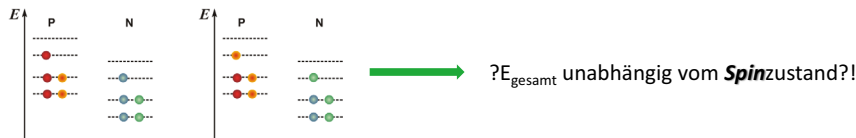
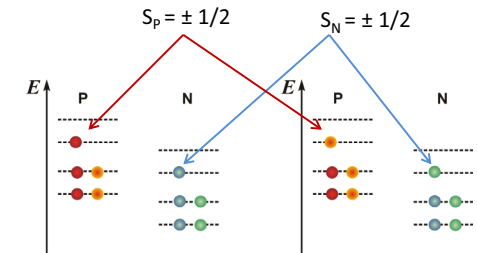


unterschiedliche Spinzustände



Energiestruktur:

- a.) Schalenmodell — getrennte Niveaus für Protonen und Neutronen;
- b.) Nukleonen an der selben Bahn (d.h. dieselbe Energie) besitzen unterschiedliche Spinzustände (Pauli-Prinzip)



L: Erhaltungsgröße!

$$\ell = |\underline{L}| = \underline{r} \cdot \underline{m} \cdot \underline{v} = m \cdot \underline{r} \cdot \underline{v} = m \cdot \underline{r} \cdot \underline{r} \cdot \omega$$

$$\ell = m \cdot r^2 \cdot \omega$$

m: Masse des Körpers/Teilchens;
 ω : Kreisfrequenz;
 r: Radius der Bahn

Teilchen (e, n, p, ...)

Bahn-Drehimpuls + (eigener Drehimpuls) Eigendrehimpuls

Der Spin hat alle Eigenschaften eines mechanischen Drehimpulses, ausgenommen, dass mech. DI durch die Dreh- oder Kreisbewegung einer Masse hervorgerufen wird. Der Spin ist eine intrinsische Eigenschaft von einigen Teilchen.

Magnetisches Moment

Aussage 1. (aufgrund der Elektrodynamik):

Bewegende, geladene Teilchen weisen ein magnetisches Moment auf.

Aussage 2. (aufgrund Beobachtungen, Quantentheorie):

Geladene Teilchen mit Spin weisen ein eigenes magnetisches Moment auf.



Proton (+)

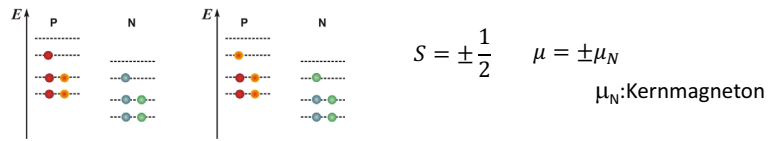
$$+\frac{2}{3} + \frac{2}{3} - \frac{1}{3}$$

Neutron (0)

$$+\frac{2}{3} - \frac{1}{3} - \frac{1}{3}$$

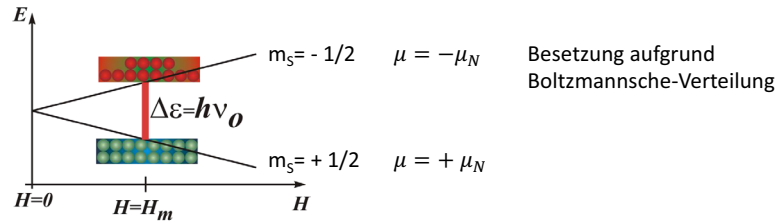
Photon: besitzt einen Spin (1), aber kein magnetisches Moment

Spin \longleftrightarrow **Magnetisches Moment**

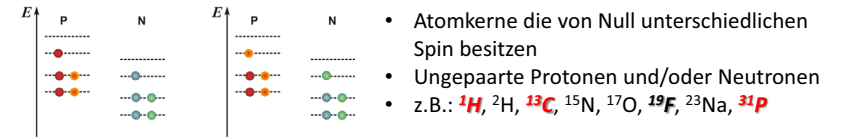


Energiezustand:

- a.) ohne Magnetfeld — unabhängig vom Spinzustand
- b.) mit Magnetfeld: Aufspaltung des Energieniveaus — Zeemansche-Aufspaltung



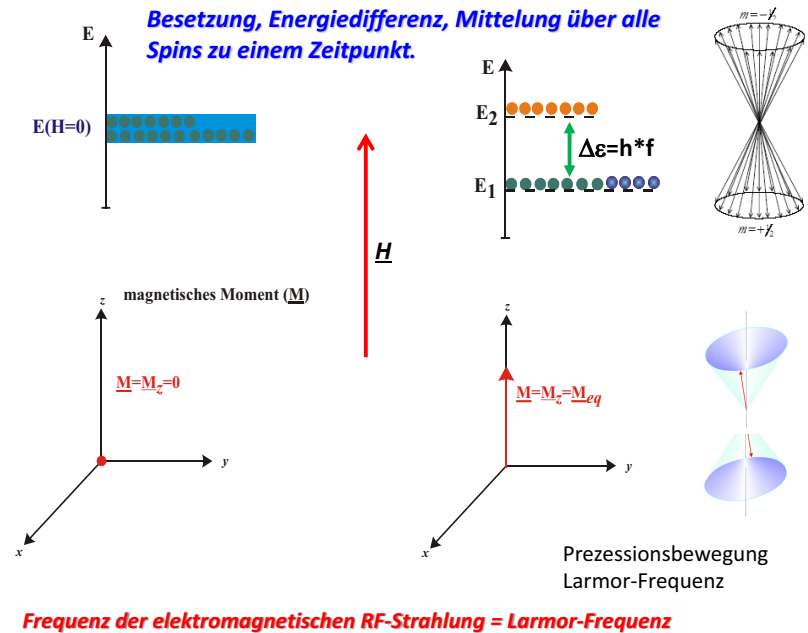
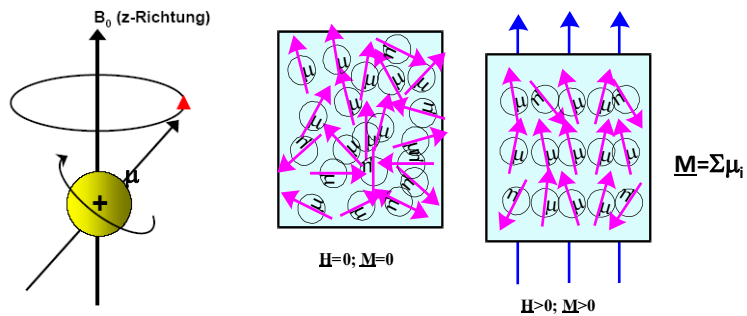
Geeignete Atomkerne für MRT



Charakteristische Größen:

| | |
|---|---|
| Frequenzbereich | 40-200 MHz |
| Feldstärke (tesla) | -0,9 — ~10 |
| $\Delta \epsilon$ (J) | $2,65 \cdot 10^{-26}$ — $5,96 \cdot 10^{-25}$ |
| $\Delta \epsilon$ (eV) | $1,66 \cdot 10^{-7}$ — $3,73 \cdot 10^{-6}$ |
| Besetzungsdifferenz bezogen auf Besetzung des Grundniveaus | $3,2 \cdot 10^{-6}$ — $7,2 \cdot 10^{-5}$ |
| gesamte absorbierte Energie (J) im Falle einer Populationsinversion | $2,55 \cdot 10^{-15}$ — $1,29 \cdot 10^{-12}$ |

Molekulare Veranschaulichung des magnetischen Moments



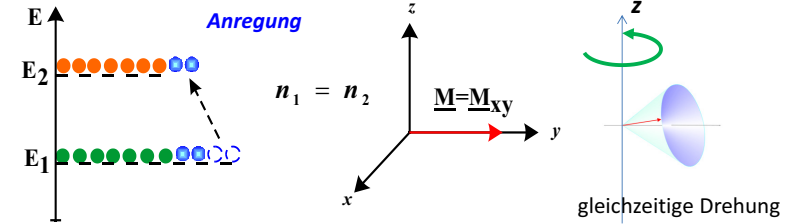


Bestandteile eines MRT Gerätes

- ✓ supraleitender Elektromagnet (~ 1 Tesla — ~9 T) — homogenes Magnetfeld;
- ✓ Gradientenspulen zur Erzeugung der Feldgradienten (in x-, y, z-Richtungen) für Ortskodierung der Signale aus den einzelnen Volumenelementen (Amplitude: 1,5-10 **mT/m**, Anstiegszeit: ~0,1 ms — 1 ms);
- ✓ HF-Anlage zur Erzeugung der speziellen elektromagnetischen Impulse im RW-Bereich (~20 ~200 MHz, ~ kW);
- ✓ Empfangsspule(n) zur Registrierung des erzeugten Resonanzsignals;
- ✓ **Shimspulen um die Inhomogenitäten des Hauptmagnetfeldes, und dadurch die Bildverzerrungen, auszugleichen (bei offenen Geräten spielt es ganz wichtige Rolle);**
- ✓ Elektronik für Steuerung und Datenverarbeitung/Speicherung

RF-Anregung

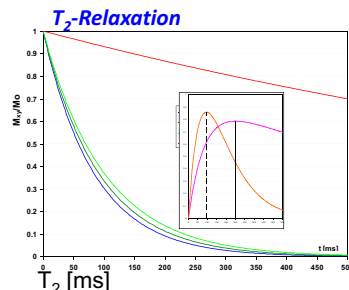
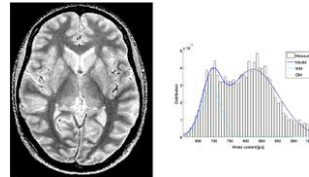
- Sie hängt von der durch einen RF-Impuls zugeführten Energiemenge ab
- **90° und 180° Impulse**
- **Registrierung der Signale mit Empfangsspulen nach dem Impuls zu gewisser Zeitspanne.**
- **Signale werden beobachtet entlang x, y (und z) Richtungen während der Entspannung (Relaxation) der angeregten Atomkerne**



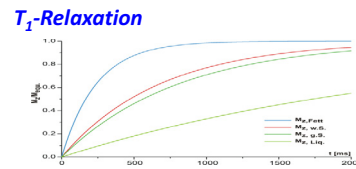
Messung der MRT-Signale in (x,y)-Ebene

$$S \sim \rho \cdot e^{-T_E/T_2} \cdot (1 - e^{-T_R/T_1})$$

Protonendichte ~ Konzentration des Wasserstoffatome in Geweben

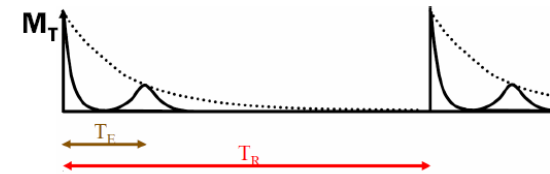


T₂ [ms]
 Fett: 84
 w. Subst.: 92
 g. Subst.: 101
 Liquor.: 1400



T₁ [ms]
 Fett: 240
 weisse Substanz: 680
 graue Substanz: 809
 Liquor: 2500

$$S \sim \rho \cdot e^{-T_E/T_2} \cdot (1 - e^{-T_R/T_1})$$



T_R: Repetitionszeit: Wiederholung einer bestimmten Sequenz von RF-Anregungen und magnetischen Feldgradienten; Wie viele Spins sind umgeklappt?
T_E: Echozeit, Auslesezeit der Signale; Wie viele Spins sind beim Echo noch in Phase?

$$T_E \gg T_2 \rightarrow e^{-T_E/T_2} \rightarrow e^{-\text{gro\ss e Zahl}} \quad \text{kein Signal mehr}$$

$$T_E \ll T_2 \rightarrow e^{-T_E/T_2} \rightarrow e^{-\text{kleine Zahl}} \approx 1 \quad \text{Auslese kurz nach Anregung; maximale Signalamplitude}$$

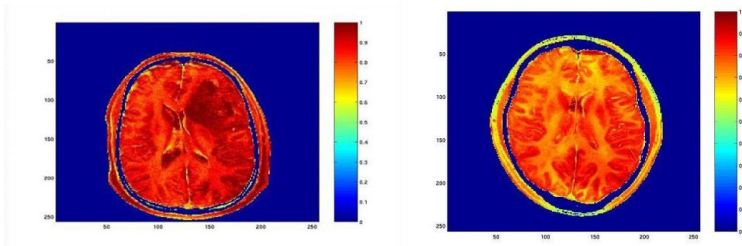
Kontrastverfahren aufgrund ρ , T₂, T₁ mit geeigneter Wahl für TE und TR; Auswahl von TE-en und TR-en sind durch T₂ und T₁ beeinflusst.

$$S \sim \rho \cdot e^{-T_E/T_2} \cdot (1 - e^{-T_R/T_1}) \quad T_E \ll T_2 \rightarrow e^{-T_E/T_2} \rightarrow e^{-\text{kleine Zahl}} \approx 1$$

$$T_E \ll T_2 < T_1 \rightarrow (1 - e^{-T_R/T_1}) \approx 1;$$

$$S \sim \rho$$

Kontrastreiches Bild nach der Protonendichte



Relaxation(zeit)

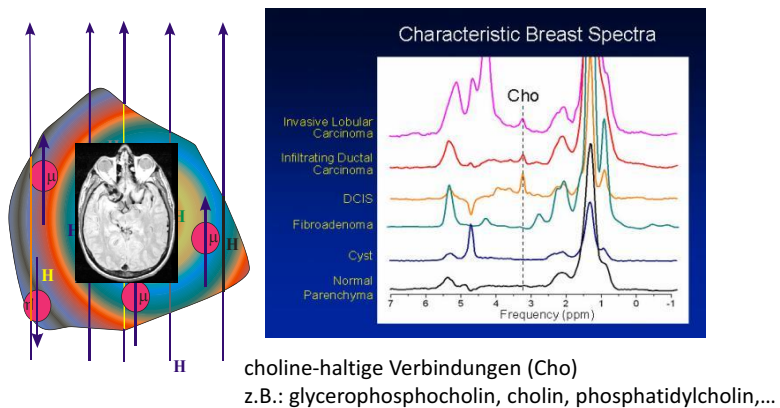
- von Atomsorte
- von Verbindungen in denen sich die untersuchten Atomkerne befinden
 - ✓ chemische Aufbau, Struktur der Moleküle
 - ✓ Wechselwirkung mit eigenen und mit Elektronen der benachbarten Atomen/Molekülen

Wie ändert sich das Signal mit der Relaxationszeit?

- kürzere Relaxationszeit führt zu kleineren Signalamplituden
- Möglichkeit für paramagnetische Auslöschung/Verminderung der Signalamplitude
 - ✓ Kontrastverfahren mit Gd-haltigen Molekülen
 - ✓ mit paramagnetischen (z.B. nitroxid-Typ) freien Radikalen
- Perfusion/Durchblutungsversuchen
- Angiographie

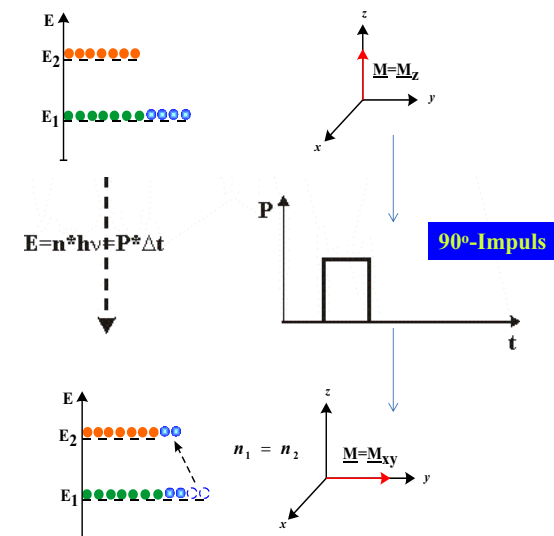
Was ist der Grund für Signalunterschiede zwischen unterschiedlichen Geweben

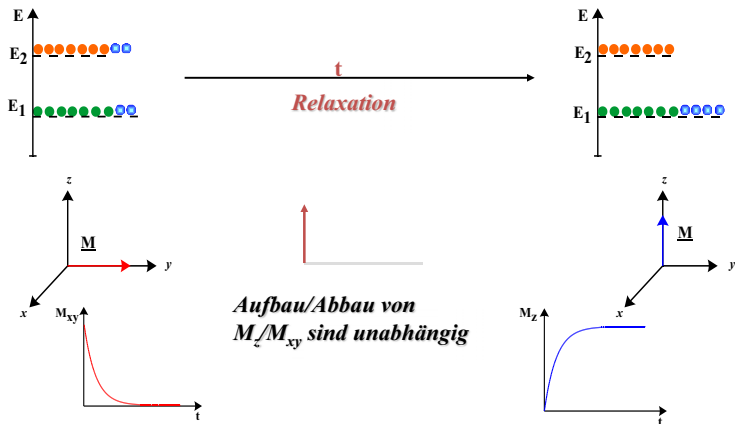
- Die Feldstärke des externen magnetischen Feldes wird durch die lokalen Wechselwirkungen verändert — lokales magnetisches Feld.
- **Die Anregungsfrequenz, die Signalamplitude hängt von der Umgebung des Protonenspins — von molekularen Zusammensetzung/Aufbau eines Gewebes**



Wie können die Relaxationszeiten bestimmt werden?

H ist schon angelegt:
Aufspaltung der Energieniveaus





Zeitliche Abhängigkeit der x-y Komponente des Relaxationsprozesses; Spin-Spin Relaxation; T_2 -Relaxationszeit

Zeitliche Abhängigkeit der z Komponente des Relaxationsprozesses; Spin-Gitter Relaxation; T_1 -Relaxationszeit

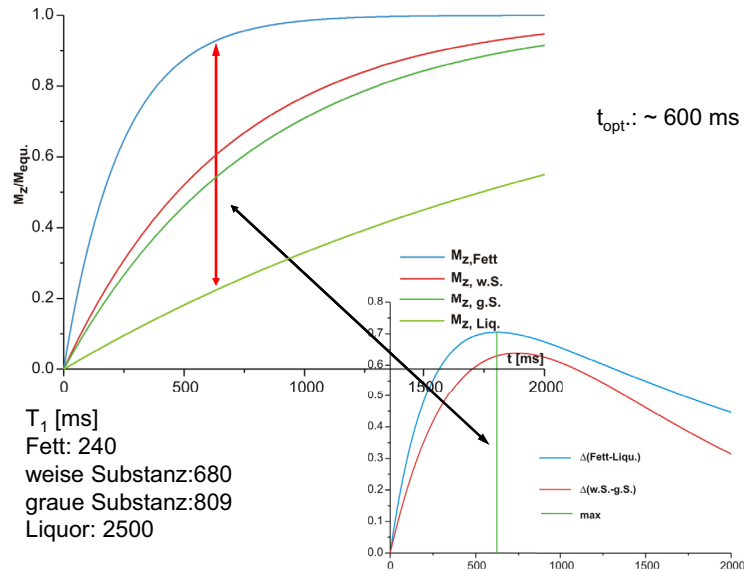
Wie können die Relaxationszeiten bestimmt werden?

- ✓ Hauptmagnetfeld ist angelegt
- ✓ Anregung mit elektromagnetischem Impuls (90° oder 180°)
- ✓ Registrierung der Echo-Signale zu gewisser Zeit nach Anregung mit unterschiedlichen Anregungssequenzen
- ✓ Wiederholung der Anregung/Registrierungsprozesse — MRT-Sequenzen

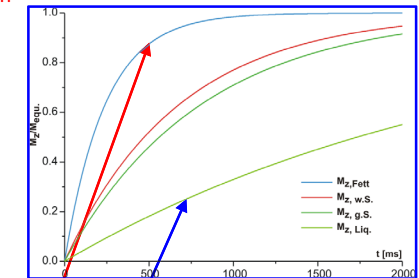
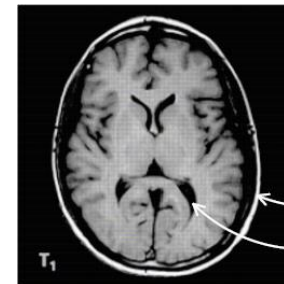
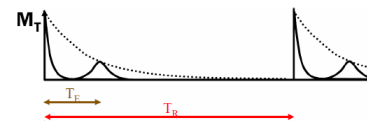
Sind immer die selben Puls(Anregungs)sequenzen und Empfangssequenzen benutzt?

- ✓ Nein — hängt von den zu untersuchenden Geweben/Messverfahren ab
- ✓ Anregung mit elektromagnetischem Impuls (90° oder 180°) — Repetitionszeit (T_R)
- ✓ Auslesen der Echo-Signale zu gewisser Zeit nach Anregung — Echozeit (T_E)

T_1 -Relaxation



T_1 -Kontrast — maximal bei $T_R \sim T_1$
 $T_E \ll T_2$ um T_2 Abhängigkeit zu minimieren

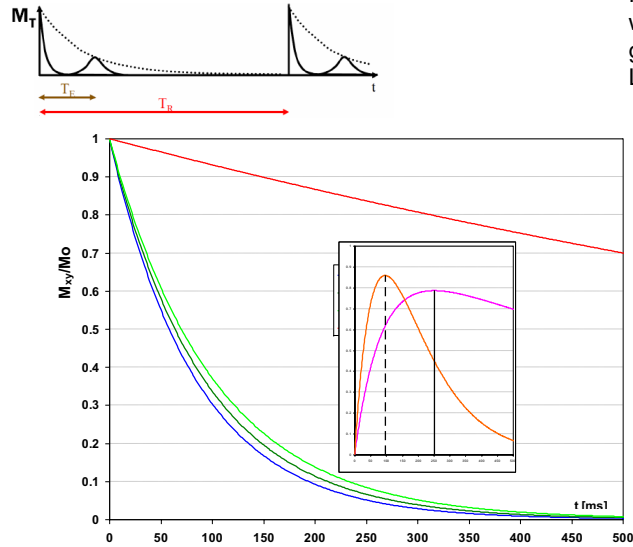


Fett hell

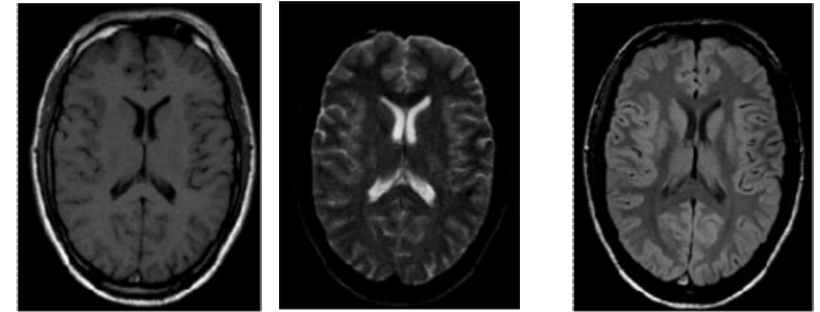
Liquor dunkel

T_2 -Kontrast — maximal bei $T_E \sim T_2$
 $T_R \gg T_1$ um T_1 Abhängigkeit zu minimieren

T_2 [ms]
 Fett: 84
 w. Subst.: 92
 g. Subst.: 101
 Liqu.: 1400



Kontrastverfahren

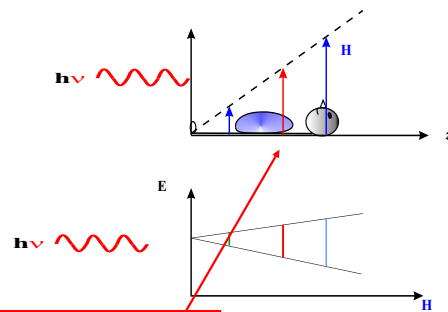


T_1

T_2

PD

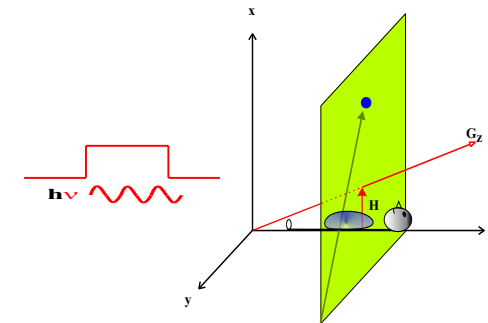
die Rolle der magnetischen Feldgradienten



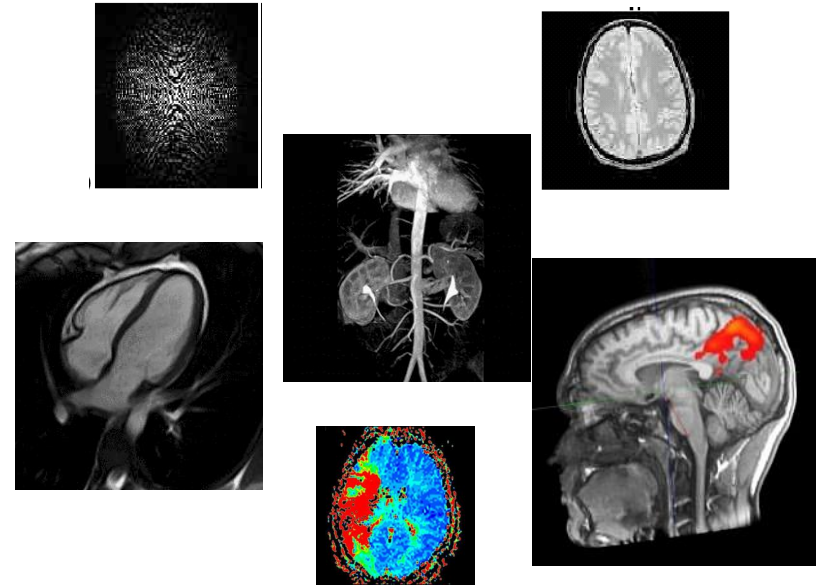
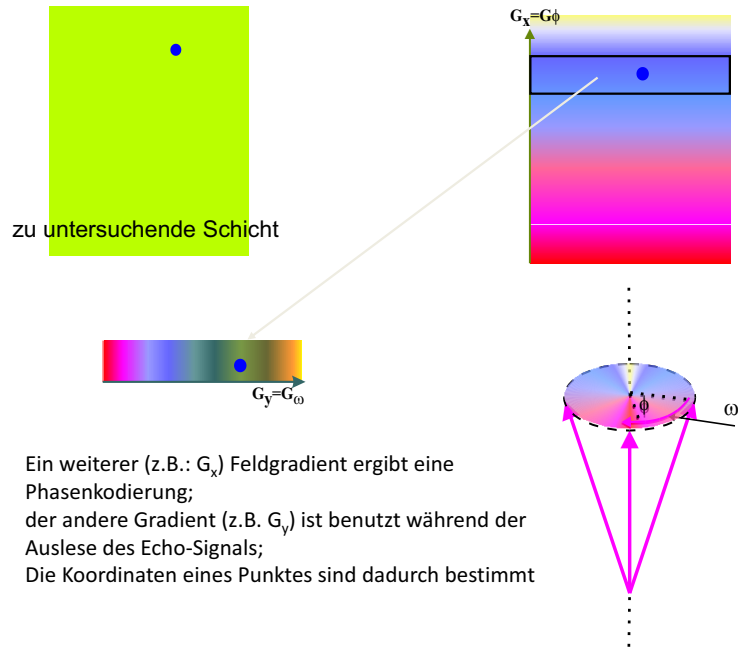
Resonanz nur in dieser Schicht

Die Amplitude des NMR-Signals ist proportional zur Protonenkonzentration der gegebenen Schicht.

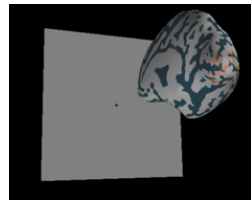
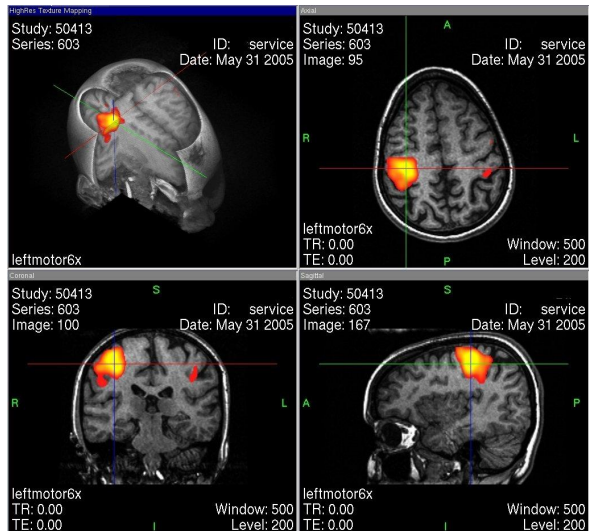
Anwendung eines entsprechenden magnetischen Feldgradienten entlang der x,y,z Achsen — und seine schrittweise Veränderung — erlaubt die Bestimmung der Protonendichte in jedem einzelnen Volumenelement eines Körpers >> ein Bild gewichtet durch Protonendichte kann hergestellt werden.



Ein Feldgradient entlang der z-Achse erlaubt die Auswahl einer Schicht. Die Bestrahlungsfrequenz und die magnetische Feldstärke bestimmen die Schicht, wo die Protonen angeregt werden — Quelle der registrierten Signale.

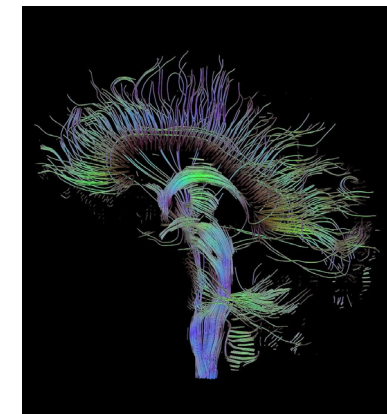
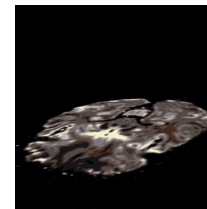


fMRT



Diffusionsgewichtete Magnetresonanztomografie

Nervenbahnen im Gehirn

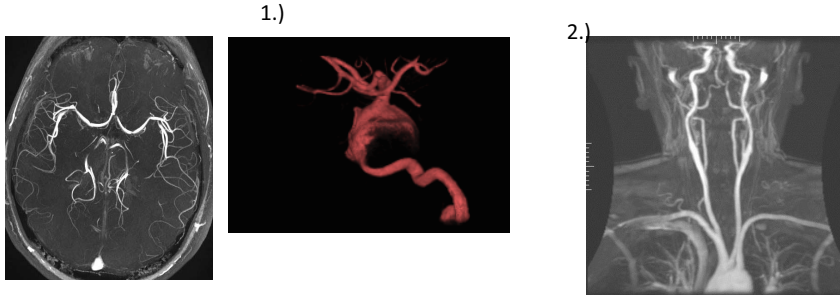


die Diffusionsbewegung von Wassermolekülen in Körpergewebe misst und räumlich aufgelöst darstellt

Magnetresonanzangiographie

Methoden

- 1.) frisch einströmendes Blut im Untersuchungsvolumen eine höhere Magnetisierung aufweist, als das stationäre Gewebe, dessen Magnetisierung durch die einwirkenden HF-Pulse der MRT-Pulssequenz reduziert (gesättigt) wird;
- 2.) Durch die Injektion von T1-verkürzendem (meist gadoliniumbasiertem) Kontrastmittel wird das Blut auf T1-gewichteten MRT-Aufnahmen signalreich dargestellt.



Empfohlene Literatur:

- <http://ebookbrowse.com/lueticke-seminar-ss09-pdf-d295966112;>
<http://de.wikipedia.org/wiki/Magnetresonanztomografie;>
<http://de.wikipedia.org/wiki/Magnetresonanzangiographie;>
http://de.wikipedia.org/wiki/Diffusions-Tensor-Bildgebung/Diffusionsgewichtete_MRT-Sequenzen;
<http://www.imaios.com/en/>

